

УДК 629.7.054

ЛИНЕЙНО-УПРУГАЯ ТРЕХСЛОЙНАЯ ПЛАСТИНА В АКУСТИЧЕСКОЙ СРЕДЕ

О.Я. Ковалец

Ассистент

Кафедра биотехники и инженерии
Национальный технический университет Украины
«Киевский политехнический институт»
пр-т Победы, 37, г. Киев, Украина, 03056
Контактный тел.: (044) 454-94-51
E-mail: karachun1@gala.net

Здійснюється аналіз та вивчається природа пружної взаємодії тришарової пластини з плоскою монохроматичною хвилею надлишкового тиску звукової частоти. В рамках одновимірної задачі, визначається закон згинного руху перегородки

Ключові слова: тришарова пластина, згинний рух, проміжний шар

Проводится анализ и изучается природа упругого взаимодействия трехслойной пластины с плоской монохроматической волной избыточного давления звуковой частоты. В рамках одномерной задачи определяется закон изгибного движения преграды

Ключевые слова: трехслойная пластина, изгибное движение, промежуточный слой

The analysis is conducted and the nature of resilient interaction of the three-layered plate with a flat monochromatic wave of superfluous pressure of sound frequency is studied. Within the limits of one-dimensional problem the law of flexural motion of barrier is determined

Keywords: three-layered plate, flexural motion, intermediate layer

1. Введение

Исследования относятся к области прикладной механики и посвящены изучению динамики линейно-упругой трехслойной пластины. К такой расчетной модели, в той или иной степени, могут быть отнесены многие комплекты, а также элементы подвеса приборов инерциальной навигации. В предполагаемой постановке, изучение динамики плоских элементов подвеса не проводилось.

Вместе с тем, как показывают стендовые испытания, гироскопические приборы в акустических полях выше 150 дБ имеют дополнительные погрешности, по структуре содержащие не только периодические, но и систематические составляющие. Именно последние наиболее нежелательны.

2. Анализ состояния проблемы и постановка задачи исследований

При акустическом давлении выше 140-150 дБ, как показывают экспериментальные исследования, приборы инерциальной навигации имеют дополнительные погрешности измерений [1]. Именно такие уровни наблюдаются в подобтекательном пространстве ракет-носителей. Причиной этих изменений служат упругие колебания подвеса гироскопа, которые в условиях имеющегося углового движения фюзеляжа порождают возмущающие моменты и, естественно, погрешности измерений [2]. Причем, наблюдается дрейф оси фи-

гуры не только в некорректируемых системах, но и в корректируемых [3].

Целью проводимых исследований является построение расчетных моделей и их аналитическое описание для условий интенсивных аналитических полей. Причем, предложенные модели позволяют анализировать не только динамические свойства плоских элементов, но и попутно решать задачи звукоизоляции пассивными методами.

3. Динамика трехслойной пластины в акустической среде

Рассмотрим трехслойную пластину, в которой жесткость скелета упругого слоя приблизительно равна жесткости воздуха. Это наблюдается, например, в стекловолокнистых материалах, пористость которых приближается к единице, а структурный фактор $\epsilon = 1 \dots 2$. Воздушное сопротивление таких конструкций изменяется в широких пределах и определяется по эмпирической формуле

$$\mu \approx 1,4(D_0 D^{-1} \rho_0 \rho_c)^{\frac{3}{2}},$$

где $D_0 = 1 \cdot 10^{-6}$ м; D – диаметр волокна; $\rho_0 = 10 \text{ Нм}^{-3}$; ρ_c – плотность материала при заданной нагрузке.

Если при жестком скелете волна распространяется, в основном, по скелету, то в рассматриваемом варианте пластины, она транслируется как по скелету, так и по воздуху в порах.

Предполагая, что деформации в промежуточном слое происходят только в направлении, перпендикулярном плоскостям пластин (по оси z), математические модели изгибного движения скелета и воздуха в порах соответственно можно представить в виде:

$$\begin{aligned} -\frac{\partial P_{\text{СК}}}{\partial z} &= \rho_{\text{СК}} \frac{\partial^2 W_{\text{СК}}}{\partial t^2} + S \frac{\partial}{\partial t} (W_{\text{СК}} - W_{\text{В}}); \\ -\frac{\partial P_{\text{В}}}{\partial z} &= \rho_{\text{В}} \frac{\partial^2 W_{\text{В}}}{\partial t^2} - S \frac{\partial}{\partial t} (W_{\text{СК}} - W_{\text{В}}), \end{aligned} \quad (1)$$

где $W_{\text{СК}}$ и $W_{\text{В}}$ – смещения скелета и воздуха в порах; $P_{\text{СК}}$ и $P_{\text{В}}$ – давление в скелете и в воздухе пор; $\rho_{\text{СК}}$ и $\rho_{\text{В}}$ – плотность скелета и воздуха; $S = i\omega\rho_{\text{В}}(\epsilon - 1) + \mu$ – сила взаимодействия между скелетом и воздухом в порах, отнесенная к единице объема материала, при разности колебательных скоростей скелета и воздуха, равной единице.

Записав уравнение непрерывности для скелета и воздуха

$$-E_{\text{СК}} \frac{\partial^2 W_{\text{СК}}}{\partial z \partial t} = \frac{\partial P_{\text{СК}}}{\partial t}; \quad -E_{\text{В}} \frac{\partial^2 W_{\text{В}}}{\partial z \partial t} = \frac{\partial P_{\text{В}}}{\partial t}, \quad (2)$$

где $E_{\text{СК}}$ и $E_{\text{В}}$ – модули упругости скелета и воздуха, в случае гармонических колебаний имеем:

$$\frac{\partial^4 W_{\text{СК}}}{\partial z^4} + A_0 \frac{\partial^2 W_{\text{СК}}}{\partial z^2} + B_0 = 0. \quad (3)$$

Здесь введены обозначения:

$$A_0 = E_{\text{СК}}^{-1} (\omega^2 \rho_{\text{СК}} - i\omega S) + E_{\text{В}}^{-1} (\omega^2 \rho_{\text{В}} - i\omega S);$$

$$B_0 = (E_{\text{СК}} E_{\text{В}})^{-1} (\omega^2 \rho_{\text{СК}} - i\omega S)(\omega^2 \rho_{\text{В}} - i\omega S) + (E_{\text{СК}} E_{\text{В}})^{-1} \omega^2 S^2.$$

Закон изгибных колебаний скелета и воздуха в упругом промежуточном слое, определяемый как решение уравнения четвертого порядка, имеет вид:

$$\begin{aligned} W_{\text{СК}} &= C_1 \cos \gamma_1 z + C_2 \sin \gamma_1 z + C_3 \cos \gamma_2 z + C_4 \sin \gamma_2 z; \\ W_{\text{В}} &= a_1 (C_1 \cos \gamma_1 z + C_2 \sin \gamma_1 z) + a_2 (C_3 \cos \gamma_2 z + C_4 \sin \gamma_2 z), \end{aligned} \quad (4)$$

где

$$\gamma_{1,2} = i \left[2^{-1} A_0 \pm (4^{-1} A_0^2 - B_0)^{\frac{1}{2}} \right]^{\frac{1}{2}};$$

$$a_{1,2} = 1 - (i\omega S)^{-1} (\gamma_{1,2}^2 E_{\text{СК}} + \omega^2 \rho_{\text{С}}).$$

Таким образом, в пористом промежуточном слое и воздухе возникают два вида волн – с частотами γ_1 и γ_2 .

Если $S = \mu = \infty$, то скелет упругого слоя и находящийся в нем воздух колеблются совместно, а в упругом материале распространяется только одна волна со скоростью $c = [(E_{\text{В}} + E_{\text{СК}})(\rho_{\text{В}} + \rho_{\text{С}})^{-1}]^{\frac{1}{2}}$.

Наоборот, если $\mu = 0$ и $\epsilon = 1$ (в этом случае $S = 0$), то связь между скелетом и воздухом в порах отсутствует и в упругом слое распространяются две независимые волны – в скелете со скоростью $c_{\text{СК}} = (E_{\text{СК}} \rho_{\text{С}}^{-1})^{\frac{1}{2}}$, а в воздухе со скоростью $c_{\text{В}} = (E_{\text{В}} \rho_{\text{В}}^{-1})^{\frac{1}{2}}$.

Слоистые среды – частный случай неоднородных сред, свойства которых существенно изменяются вдоль одной координаты – перпендикулярно плоско-

стям слоев. Структура многослойных конструкций определяется количеством, размерами и физико-механическими свойствами слоев, а также общей толщиной, которая либо фиксирована, либо устанавливается с помощью методов оптимизации по выбранному критерию качества.

Задачи оптимального проектирования конструкций из конечного набора материалов обладают особенностями, не позволяющими эффективно использовать для их решения, например, методы математического программирования и некоторые другие. Если анализировать плоские панели с числом слоев не более s , которые можно составить из t материалов, то количество вариантов будет равно s^m . Вместе с тем, с помощью ПЭВМ, за ограниченное время можно рассмотреть множество вариантов оптимального сочетания слоев и решить задачу в общем виде. Сузим задачу исследований и выберем самый простой из всех возможных вариантов, а именно, плоскую трехслойную конструкцию.

Рассмотрим прохождение звука через бесконечную по протяженности пластину, что дает возможность для определенных условий решать плоскую задачу и использовать одномерные уравнения при построении математической модели трехслойной конструкции с жестким наполнителем.

Механическая модель прохождения звуковой волны через трехслойную преграду представлена на рис. 1.

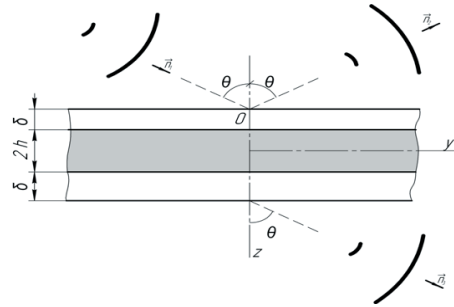


Рис. 1. Механическая модель прохождения звука через трехслойную плоскую панель: 1 – падающая волна; 2 – отраженная; 3 – прошедшая

Пусть звуковое давление в падающей, отраженной и прошедшей волнах изменяется по законам:

$$P_1 = P_{10} \exp i[\omega t - k_0 y \sin \theta - k_0 (z + h + \delta) \cos \theta];$$

$$P_2 = P_{20} \exp i[\omega t - k_0 y \sin \theta + k_0 (z + h + \delta) \cos \theta];$$

$$P_3 = P_{30} \exp i[\omega t - k_0 y \sin \theta - k_0 (z - y - \delta) \cos \theta].$$

Тогда, пренебрегая нелинейными членами, одномерную математическую модель антисимметричных W_a и симметричных W_c колебаний можно записать в виде:

$$b_1 W_a^{III} + b_2 \ddot{W}_a^{II} + b_3 W_a^I + b_4 \phi^{II} + b_5 \ddot{\phi} - b_3 \phi = 0;$$

$$c_1 W_c^{IV} + c_2 \ddot{W}_c^{III} - b_3 W_c^{II} + c_3 \ddot{W}_c + b_1 \phi^{III} + b_2 \dot{\phi}^I + b_3 \phi^I = (5)$$

$$= -(P_{10} + P_{20} - P_{30}) \exp i(\omega t - k_0 y \sin \theta);$$

$$a_1 W_c^{III} + a_2 \ddot{W}_c^I + a_4 W_c^I + a_4 U^{II} + c_3 \ddot{U} = 0;$$

$$c_1 W_c'''' + c_2 \ddot{W}_c'' + a_3 W_c'' + a_6 \dot{W}_c + a_7 W_c - a_1 U''' - a_2 \dot{U}' - (6)$$

$$a_3 U' = -(P_{10} + P_{20} + P_{30}) \exp(i\omega t - k_0 y \sin \theta),$$

где $W_a = 2^{-1}(W_1 + W_2)$, $W_c = 2^{-1}(W_1 - W_2)$ соответственно антисимметричная и симметричная составляющие прогиба трехслойной пластины; W_1, W_2 – прогибы срединных плоскостей верхней и нижней пластины; φ – угол поворота плоских сечений заполнителя; U – тангенциальные составляющие перемещений срединной плоскости заполнителя; штрихами и точками обозначены соответственно производные по координате и по времени;

$$\begin{aligned} a_1 &= E_1 \delta^2; \quad a_2 = -\rho_1 \delta^2; \quad a_3 = -2\bar{E}\sigma(1-\sigma)^{-1}; \\ a_4 &= 2(E_1 \delta + \bar{E}h); \quad a_5 = \frac{2}{3}\bar{G}h; \quad a_6 = -2(\rho_1 \delta + 3^{-1}\rho h); \\ a_7 &= -2Eh^{-1}; \quad b_1 = -a_1 h; \quad b_2 = -a_2 h; \quad b_3 = -2\bar{G}h; \\ b_4 &= -2h^2(E_1 \delta + 3^{-1}\bar{E}h); \quad b_5 = -a_6 h^2; \quad c_1 = -\frac{2}{3}\bar{E}_1 \delta^3; \\ c_2 &= \frac{2}{3}r_1 d^3; \quad c_3 = -2(\rho h + \rho_1 \delta); \quad E_1 = E_1(1-\sigma_1^2)^{-1}; \end{aligned}$$

E', σ_1, ρ_1 и \bar{E}', σ, ρ – модули упругости, коэффициент Пуассона и плотность материала соответственно несущих слоев и заполнителя; G – модуль сдвига заполнителя; $E = \bar{E}'(1-\sigma)[(1+\sigma)(1-2\sigma)]^{-1}$.

С учетом равенства колебательных скоростей обеих пластин нормальным составляющим колебательных скоростей воздуха, граничные условия можно записать в виде:

$$\begin{aligned} \frac{\partial W_1}{\partial t} &= \left[-(i\omega\rho_0)^{-1} \frac{\partial(P_1 + P_2)}{\partial z} \right]_{z=-h-\delta}; \\ \frac{\partial W_2}{\partial t} &= \left[-(i\omega\rho_0)^{-1} \frac{\partial P_3}{\partial z} \right]_{z=h+\delta}, \end{aligned}$$

где ρ_0 – плотность воздуха.

Учитывая, например, только потери энергии в заполнителе и пренебрегая затуханием в пластинах, можно записать закон изгибных колебаний нижней пластины, как представляющей больший практический интерес, в виде:

$$W = W_a - W_c = \rho^{-1} \rho_1 \mu_1 P_{10} \exp(i\omega t - k_0 y \sin \theta - \varphi + \varphi_1) \times (7)$$

$$\times [1 + \rho_1^{-1} \mu_1^{-1} \rho_2 \mu_2 P_{10} \exp(i(\varphi_2 - \varphi_1))],$$

где

$$\rho = \left\{ \left[z_{a2}^2 \Delta_1^{-2} + (1 + z_{a1} \Delta_1^{-1})^2 \right] \left[z_{c2}^2 \Delta_1^{-2} + (1 + z_{c1} \Delta_1^{-1})^2 \right] \right\}^{\frac{1}{2}};$$

$$\rho_1 = \left[z_{a2}^2 \Delta_1^{-2} + (1 + 2^{-1} z_{a1} \Delta_1^{-1})^2 \right]^{\frac{1}{2}};$$

$$\rho_2 = \left[z_{c2}^2 \Delta_1^{-2} + (1 + 2^{-1} z_{c1} \Delta_1^{-1})^2 \right]^{\frac{1}{2}};$$

$$\varphi = \arctg \left\{ \left[z_{a2} \Delta_1^{-1} (1 + \Delta_1^{-1} z_{c1}) + z_{c2} \Delta_1^{-1} (1 + z_{a1} \Delta_1^{-1}) \right] \left[(1 + \Delta_1^{-1} z_{a1})(1 + \Delta_1^{-1} z_{c1}) - \Delta_1^{-2} z_{a2} z_{c2} \right]^{-1} \right\};$$

$$\varphi_1 = \arctg[\Delta_1^{-1} z_{a2} (1 + 2^{-1} \Delta_1^{-1} z_{a1})^{-1}];$$

$$\varphi_2 = \arctg[z_{c2} \Delta_1^{-1} (1 + 2^{-1} \Delta_1^{-1} z_{c1})^{-1}];$$

$$z_{a1} = -2^{-1} \omega k^2 (B_2 B_3 - B_1 B_4) (B_3^2 + B_4^2)^{-1};$$

$$z_{a2} = 2^{-1} i \left[-c_3 \omega + \omega^{-1} k^2 (B_1 B_3 + B_2 B_4) (B_3^2 + B_4^2)^{-1} \right];$$

$$z_{c1} = -2^{-1} \omega^{-1} \left[\eta_1 a_{71} + k^2 (A_2 A_3 - A_1 A_4) (A_3^2 + A_4^2)^{-1} \right];$$

$$z_{c2} = 2^{-1} i \left[-a_6 \omega + a_{71} \omega^{-1} + k^2 \omega^{-1} (A_1 A_3 + A_2 A_4) (A_3^2 + A_4^2)^{-1} \right];$$

$$B_i = B_i(k, c_i, b_{ij}, \omega, \eta_i); \quad A_i = A_i(k, c_i, \eta_i, a_{ij});$$

$$k = v_0 \sin \theta; \quad a_{ij} = a_{ij}(\rho, \delta, E, h, \sigma).$$

В силу того, что граница раздела двух сред с разными физико-механическими свойствами служит генератором отраженных и прошедших волн, можно с помощью слоистых (а в общем случае неоднородных) конструкций существенно влиять на волновую картину процесса, изменяя параметры слоев. При этом определяющими могут оказаться свойства дисперсии, диссипации и многолучевой интерференции составных элементов.

Задача оптимального проектирования слоистых систем, таким образом, будет сводиться к обеспечению наилучших значений этих параметров.

Помимо прочего, становится возможным получение неотражающих переходных слоев между средами, а также оптимизации геометрических и массовых характеристик конструкции в целом и др.

4. Выводы

Построенные расчетные модели создают необходимую теоретическую базу для глубокого изучения поведения приборов инерциальной навигации.

Открываются возможности эффективной борьбы пассивными или автокомпенсационными методами с нежелательным влиянием проникающего акустического излучения высокой интенсивности.

Литература

1. Карачун В.В. Волновые задачи поплавоквого гироскопа [Текст]: монография / В.В. Карачун, Я.Ф. Каюк, В.Н. Мельник; под общ. ред. В.В. Карачуна; - К.: «Корнейчук», 2007. – 228с.
2. Мельник В.Н., Карачун В.В. О влиянии проникающего акустического излучения на чувствительные элементы гиросtabilизированной платформы // Прикл. механика. – 2004. – Т.40, №10. – С. 122-130.
3. Карачун В.В., Потапова Е.Р., Мельник В.Н. О погрешности построения вертикали при старте носителей // Космічна наука і технологія, 1999. – Т.5, №4. – С.70-74.